

MVB类设备控制器的FPGA设计

张大波 李红 邱志坚

大连理工大学 电子与信息工程学院 辽宁 大连 116023)

摘要 以 Xilinx公司的 IS开发平台 采用 Xilinx Spartan2e XC2S200- 5PQ208芯片 实现了 MVB类设备控制器的功能 并搭建了测试模型 在 ModelSim仿真了其收发帧及报文分析等功能 , 得到了符合 IEC6137协议的帧波形。

关键词 : MV控制器专用芯片 FPGA MVB类设备控制器

MVB多功能车辆总线 控制器是 MVB的核心处理器 它独立于物理层和功能设备 为在总线上的各个设备提供通讯接口和通讯服务。在 MV协议结构层次中 , MV控制器完成链路层的功能 依靠物理层发送和接收具有电气特征的电信号 同时为网络层提供过程数据 包括监视数据 、消息数据的变量接口。该接口采用 TM共享通讯存储器 实现 即应用层的 CP即链路层的 MV控制器一致地访问 TM即对端口中所有数据的读和写在一次不可分割的操作中完成 [1-2]

目前国外厂商垄断着对 MV控制器芯片的制造 , 致使在国内购买 MV控制器芯片价格昂贵。用 FPGA替代 MV控制器专用芯片 , 是一个很好的解决方案。

FPGA作为一种可编程逻辑器件 , 可以完成数字集成电路的大多数功能 , 由于其内部有丰富的可编程资源 使模块的修改、验证、功能扩展都十分方便。应用 FPGA还可以在内部实现与应用处理器的接口转换 简化外围电路 [3] 另外 , FPGA低廉的价格也是其替代专用集成电路的一大优势。

在 MVB中大量应用具有过程数据传输和设备状态数据传输能力的 类设备。类设备逻辑不支持 CP或微处理器的操作。它主要作为传感器执行单元 只进行数据的采集和传输 不进行处理 因此可以单独用 FPGA和简单外围电子电路实现网络传输和控制功能 不需要

CPU^[4] 在设计好 MVB类设备控制器的基础上 可根据需要采用模块复用技术把 MVB1 输出曼彻斯特码 扩展为 MVB2 ^[5]

、3 或 4类设备控制器 ^[6]

总体结构

设计中采用自顶向下的方法。自顶向下的设计是从系统级开始 把系统划分为若干个基本单元 然后再把每个单元 划分为下一层次的基本单元 ,

直到可以直接用 ED元件库中的基本元件实现为止。

MVB类设备控制器的顶层结构主要包括发送模块、接收模块和 MVB类模式控制模块 ^[7-8] 如图 所示。当

MVB类设备被 1位主帧轮询时 , 类设备控制器先判断该主帧的第 1至 位是否与设备所配置的设备地址相同 如果相同则表明该设备被寻址 需响应从帧或接收其他从设备响应的从帧。

1.发送模块

发送模块实现的功能是把 MVB类设备控制器从 TM提取的数据进行并串转换 加上帧头、起始位和 CR校验后再经过曼彻斯特编码发送到 MVB。

1.接收模块

接收模块的功能主要有两部分 :译码 ,即对 MVB1类设备控制器从 MVB检测到的曼彻斯特码进行解码 串并转换后存储在缓冲区中 线路检测 主要检测线路上的各种错误 包括 CR校验、帧长检测、曼彻斯特码违规等)并向 MVB类模式控制模块提交错误报告。

1.3 MVB类设备控制模块

MVB类设备控制模块包括报文超时单元、报文错误处理单元、主帧寄存器单元、 TM控制单元和主控单元 如图 所示。

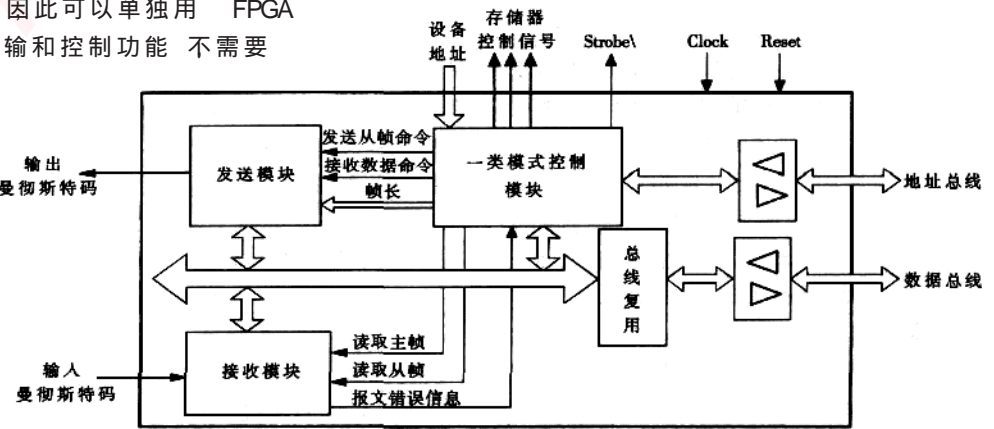


图 1 MVB1 类设备控制器结构

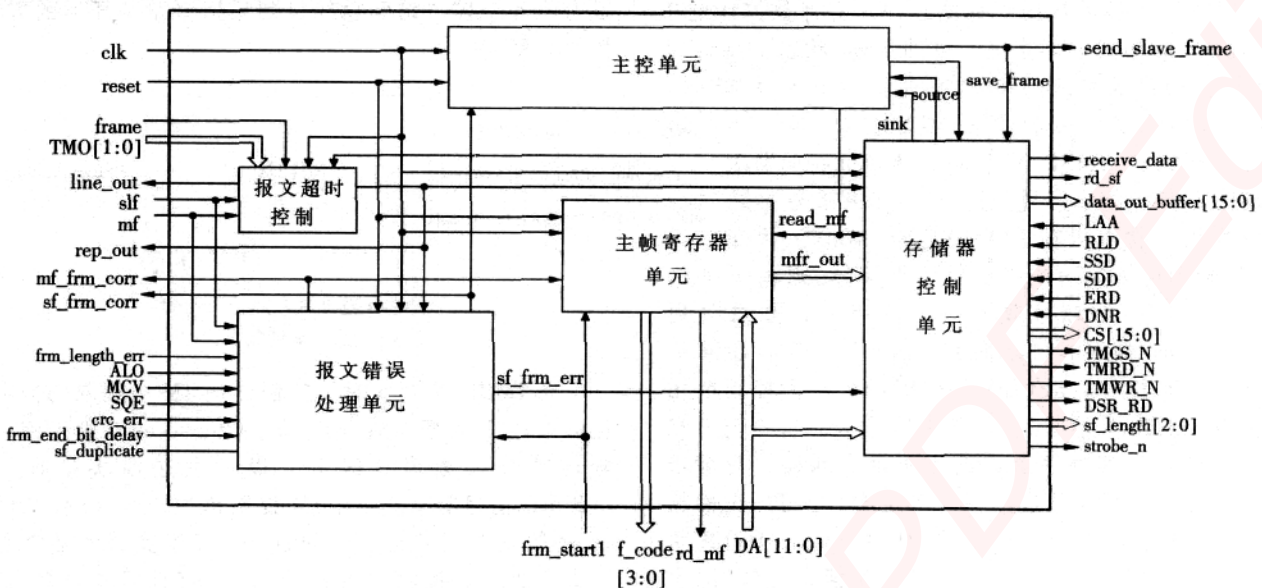


图 2 MVB1 类模式控制模块内部结构图

1.3. 报文超时单元

在主帧结束后的一定时间 接收模块没有报告收到正确的从帧 本单元产生应答超时信号 接收模块没有报告接收到正确的主帧 本单元产生线路超时信号。

1.3. 报文错误控制单元

接收模块报告收到正确主帧时 请求主帧寄存器单元向接收模块发读主帧命令 对错误主帧不处理。收到正确的从帧时 请求主控单元发存储从帧命令 对错误从帧不处理。无应答超时下收到多个主帧 只应用最后一个。两个主帧间有多个从帧 只对第一个从帧处理。

1.3. 主帧寄存器单元

当报文分析单元收到正确的主帧后产生读取主帧 rd_n信号 通知接收模块把缓冲区的主帧数据送入数据总线供本单元读入到 MF(帧寄存器)中 比较 MFR 与设备地址 如果相同则产生设备寻址信号 device_select 送往主控单元 表示选中该设备以期进行下一步操作。

1.3.4 TM访问控制单元

TM访问控制单元的功能包括 产生对 TM的读写控制和片选信号 判断 f_code(主帧高四位)如果在 0~4 之间 表明该主帧是过程数据请求 如果为 15 表明该主帧是设备状态请求。当主帧是过程数据请求时 如果主帧的低四位在 0~4 之间 ,表明主帧访问的是源端口 产生 soud信号)控制器从 TM提取从帧经发送模块发送出去 如果是在 8~12 之间 表明主帧访问的是宿端口 产生 sin信号)控制器等待接收其他从设备发送的从帧数据。对端口 1 的写操作将触发同步信号 strobe_有效。当主帧是设备状态请求时 由本单元内部产生设备状态报文响应从帧数据 经发送模块发送。状态机如图 所示。

状态机在 IDLE 状态且 read_n 信号有效时 跳转到

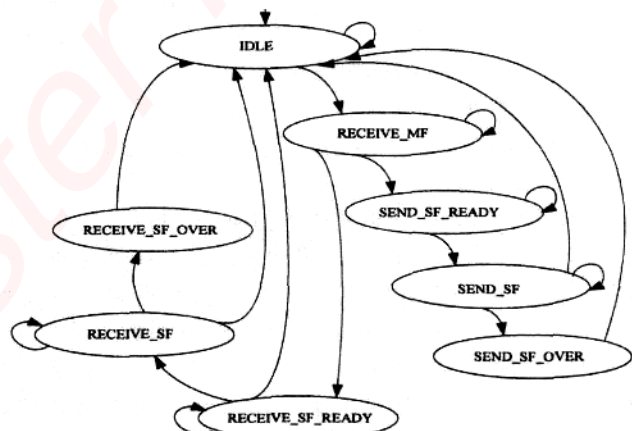


图 3 收发帧控制状态机

RECEIVE_MF 状态。此时若收到 soud信号 则跳转到 SEND_SF_READ 状态 准备发送从帧 如果收到 sin信号 则跳转到 RECEIVE_SF_READ 状态 准备接收从帧。状态机在 SEND_SF_READ 状态 收到 send_slave_fram 信号 跳转到 SEND_SF 发送从帧。此时 TM访问控制单元实现两种功能 : f_code = 0 时对外部 TM发出读请求 ; f_code = 1 时产生 DSR_R 响应设备状态请求。对 TM 的读请求包括 TMCS_N 和 TMRD_N, 如图 所示 当 f_code = 0 之间时 , TMC 有效 , 表示对外部 TM 进行读写操作。本单元定义了计数器 count 来产生读请求 TMRD_N, 如图 中当 f_code = 001 时 , 要从 TM 读取 4 word 的从帧 计数器从此状态初计数计到 1~3、5 时 TMRD_N 为低电平。外部 TM接到一个 TMRD_N

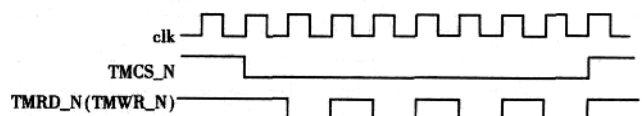


图 4 TM 控制单元对 TM 读(写)访问请求 (f_code=0010)

信号 提取一个字的数据到数据总线。当计数器计到 7 阻态。各个模块访问总线机制采用多路选择器的方式，时 已经从 TMRD 提取了正确长度的从帧 状态机跳转到 如图 所示。

SEND_SF_OVE 状态 表示读从帧结束。 f_code 1时， counter 数到 产生低脉冲信号 DSR_RD,同时产生设备状态响应。 TMRD_ 高效时 本单元将向发送模块发送 receive_dat 编号 通知它准备接收数据总线上的数据。状态机在 RECEIVE_SF_READ 状态时 如果收到应答超时或者从帧错误信号 则跳回到 IDLE 状态 ,准备重新接收下一主帧请求 ;如果收到 save_slave_fram 信号 ,则跳转到 RECEIVE_SF 状态准备接收从帧。状态机在 RECEIVE_SF 时 ,TMRD 问控制单元向外部 TM 做出写请求。写请求信号包括 TMCS 和 TMWR 信号 ,其时序图如图 所示。同样 ,写请求 TMWR 的产生与读请求类似。当向 TM 做写入正确长度的从帧数据时 ,状态机跳转到 RECEIVE_SF_OVE 状态 表示写从帧操作结束。当 TMWR 信号有效时 本单元向解码模块发送 rd 信号 ,表示要从该模块提取从帧到数据总线上。在 SEND_SF_OVER 或 RECEIVE_SF_OVE 状态将直接跳回 IDLE

1.3. 主控单元

产生 read_n 信号 作为 TM 问控制单元读取主帧寄存器的使能信号。

如果收到 TM 控制单元送来的 soud 信号 则在本单元内产生 send_slave_fram 信号 送往 TM 控制单元和发送模块 通知 TM 控制单元从 TM 做提取数据到数据总线上 ,再由发送模块提取数据到发送 FIFO 以发送 ;如果收到 TM 控制单元送来的 sin 信号 ,并且报文错误 处理单元报告收到正确的从帧 在本单元内部 将产生 save_slave_fram 信号 送往 TM 控制单元 通知 TM 控制单元准备接收从帧并存储到 TM 。主控单元各个信号的产生时序图如图 所示。

1. 总线复用器

为了节省资源 在 MVB 类设备控制器顶层模块 定义了总线复用器 用来实现各个模块的总线共享。为了避免总线冲突 同一时刻只能有一个模块 向总线发送数据 以供其他模块接收 总线在空闲时呈高

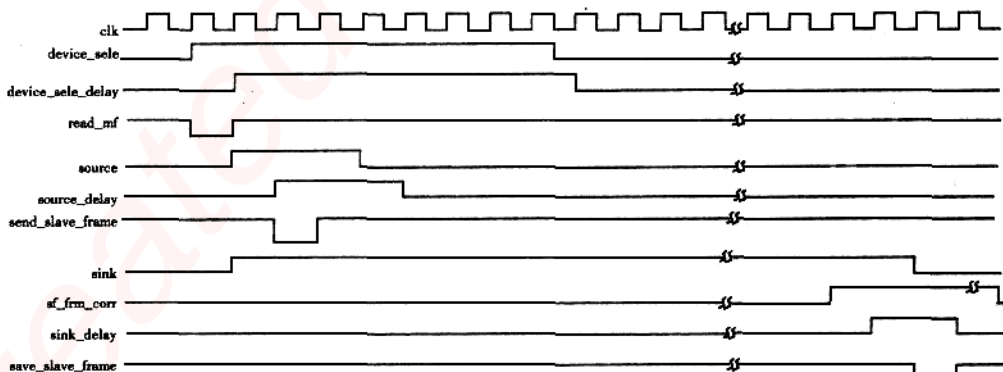


图 5 主控单元各个信号产生时序图

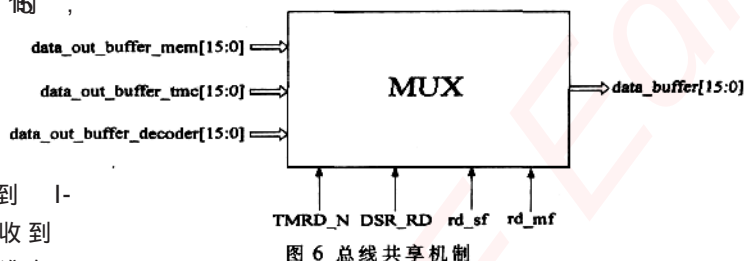


图 6 总线共享机制

当 TMRD_ 高效时 ,控制器从 TM 做提取的数据 经存储器输出数据总线 data_out_buffer_me 被输入到控制器 内部公共数据总线上 ,以供发送模块接收。当 DSR_R 信号有效时 由 TM 控制模块产生 1位从帧数据 经数据总线 data_out_buffer_tm 发送到公共数据总线上 供发送模块接收。当 rd_sf 或 rd_mf 信号有效时 接收模块 FIFO 的数据 经数据总线 data_out_buffer_decoder 被送至公共数据总线上 以供 TM 或 TM 控制模块接收。

测试

MVB 类设备控制器的测试模型如图 所示。测试 MVB 类设备控制器的功能包括 测试是否能收到正确的主帧 收到正确主帧后 如果主帧是过程数据请求 并且访问的是源端口 能否从 TM 做取数据发送到 MV ;如果访问的是宿端口 ,能否正确接收其他从设备发送到 MV 的从帧 再发送到 MV 总线上。为了进行有效测

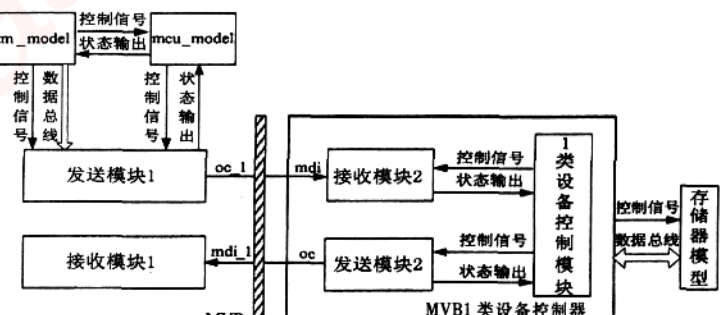


图 7 MVB1 类设备控制器测试模型

试 如图 所示定义了可以 调用发送主 从帧命令的 测 试 模型 mcu_model 提供发 送 主 从 帧 数 据 的 模 型 tm_mod 和 MVB类 设备外 部 TM 模型。

图 8图 动部分仿真 波形。发送模块 发送主帧 0c50 由图 可知 ,MVB类 设备控制器 检测到发送模 块 发送的主帧后 通过总 线 data_out_buffer_mem 外

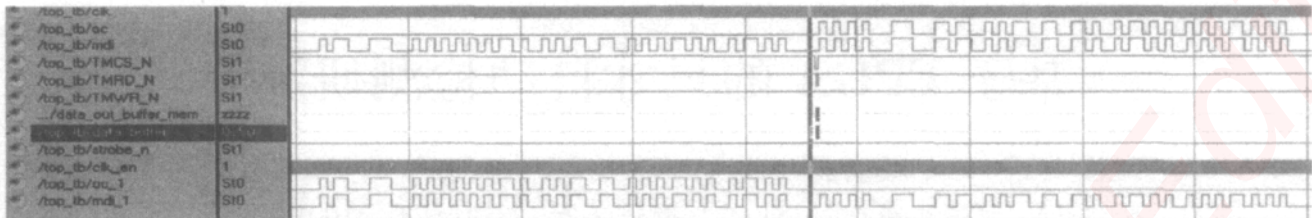


图 8 访问 MVB1 类设备源端口

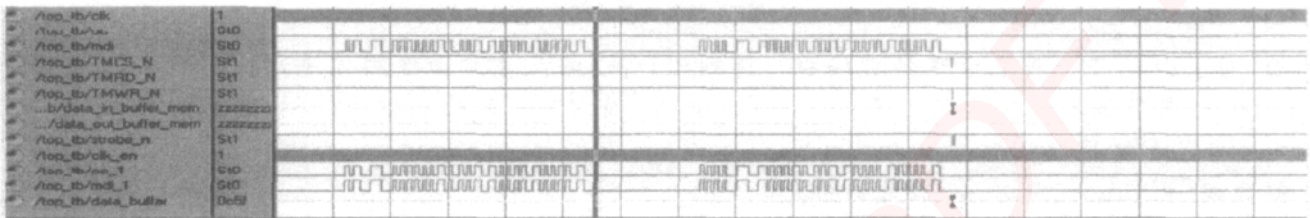


图 9 访问 MVB1 类设备宿端口及 MVB1 类设备控制器同步机制

部 TMWR 提取一个字长的数据到数据总线上经发送模块发送。由仿真图可以看出 TMCS 及 TMRD 有效。

发送模块发送主帧 0c 后再发送 1 位从帧数据。由图可知控制器检测到发送模块发送的主帧后又收到 1 位的从帧数据并通过总线 data_in_buffer_mem 数据送到 TMWR。于是对端口 1 的操作由图中可以看出 TMCS_N TMWR 及同步信号 strobe 有效。

本文在研究 MVB 的基础上用 FPG 实现了 MVB 类设备控制器的设计具体描述了类设备控制器各个模块的功能及设计方法。经过仿真验证该类设备控制器能够成功收发帧数据对报文进行分析并且由于该类设备控制器采用了自顶向下的设计原则设计的各个子模块功能相互独立因此易于扩展。当设计 MVB2、3 或类设备控制器时可以在本设计的基础上采用模块发送模块、接收模块复用的方法从而有效地节省资源。经过实践证明使用该设计比购买专用处理芯片 MV 控制器大大节省了成本。

参考文献

- [1] ADTRANZ. Multifunction vehicle bus controller data sheet (Revision)[Z]. Switzerland: Adtranz. 1997.

上接第 8 页)

RS-485 总线而言 网络节点数、传输距离、波特率都会影响网络的误码率 实际应用中波特率的选择还要在吞吐量与误码率中做出权衡。

本文通过 Modbus 通讯实验对其性能进行测试并将测试结果运用于仿真分析 指出了网络时延对系统稳定性造成的影响 给出了一种解决方法。根据本文给出的时间常数 可以看出 Modbus 其适用于温度、压力、流量等时间常数较大的缓变过程控制行业 如发酵控制、水处理等。

参考文献

- [1] CHARLES L, PHILLIPS, HENTRY T, Nagle: Digital

- [2] IEC61357- 1 Part 1. Train communication network[S],1999.
- [3] 蔡颖 .MV 网络接口单元的 SO 解决方案 沿海企业与科技 , 2005, (4): 139- 140.
- [4] JIMENEZ J, JOSE M. Comparison of two designs for the multifunction vehicle bus IEEE transactions on computer-aided design of integrated circuits and systems : accepted for future publication. Volume PP, Issue 99, 2005:1- 1.
- [5] 王峰 基于 FPG 的 MVB 类设备网卡的设计 [J]机车电传动 , 2004, (6): 21- 23.
- [6] BONSEN, G A. The multifunction vehicle bus (MVB) factory communication systems. 1995.WFCS 95, Proceedings., 1995 IEEE International Workshop on 4- 6 Oct. 1995 Page(s):27- 34.
- [7] JIMENEZ J, MARTIN J L, CUADRADO C et al. A top-down design for the train communication network industrial technology.2003 IEEE International Conference on Volume 2,10- 12 Dec. 2003 Page(s):1000- 1005.
- [8] International electrotechnical commission, IEC 61375- 3, Clause 3: Multifunction Vehicle Bus, 1999.

收稿日期 : 2006- 09- 28)

- control system analysis and design. 2nd ed, Prentice- Hall, Inc., 1990, chapter 3,4,5.
- [2] GHAFFAR H F, MAGIED M F, FIKRI M et al. Performance analysis of fieldbus in process control systems. Proceedings of the American Control Conference Denver, Colorado June 4- 6,2003.
- [3] Modicon modbus protocol reference guide. Industrial automation systems. Modicon, Inc., June 1996.
- [4] 时亚斌 采用串口通信技术实现 Modbus 数据通信 [J]. 自动化仪表 , 2004, (10).

嵌入式资源免费下载

总线协议：

1. [基于 PCIe 驱动程序的数据传输卡 DMA 传输](#)
2. [基于 PCIe 总线协议的设备驱动开发](#)
3. [CANopen 协议介绍](#)
4. [基于 PXI 总线 RS422 数据通信卡 WDM 驱动程序设计](#)
5. [FPGA 实现 PCIe 总线 DMA 设计](#)
6. [PCI Express 协议实现与验证](#)
7. [VPX 总线技术及其实现](#)
8. [基于 Xilinx FPGA 的 PCIE 接口实现](#)
9. [基于 PCI 总线的 GPS 授时卡设计](#)
10. [基于 CPCI 标准的 6U 信号处理平台的设计](#)
11. [USB3.0 电路保护](#)
12. [USB3.0 协议分析与框架设计](#)
13. [USB 3.0 中的 CRC 校验原理及实现](#)
14. [基于 CPLD 的 UART 设计](#)
15. [IPMI 在 VPX 系统中的应用与设计](#)
16. [基于 CPCI 总线的 PMC 载板设计](#)
17. [基于 VPX 总线的工件台运动控制系统研究与开发](#)
18. [PCI Express 流控机制的研究与实现](#)
19. [UART16C554 的设计](#)
20. [基于 VPX 的高性能计算机设计](#)
21. [基于 CAN 总线技术的嵌入式网关设计](#)
22. [Visual C 串行通讯控件使用方法与技巧的研究](#)
23. [IEEE1588 精密时钟同步关键技术研究](#)
24. [GPS 信号发生器射频模块的一种实现方案](#)
25. [基于 CPCI 接口的视频采集卡的设计](#)
26. [基于 VPX 的 3U 信号处理平台的设计](#)
27. [基于 PCI Express 总线 1394b 网络传输系统 WDM 驱动设计](#)
28. [AT89C52 单片机与 ARINC429 航空总线接口设计](#)
29. [基于 CPCI 总线多 DSP 系统的高速主机接口设计](#)
30. [总线协议中的 CRC 及其在 SATA 通信技术中的应用](#)
31. [基于 FPGA 的 SATA 硬盘加解密控制器设计](#)
32. [Modbus 协议在串口通讯中的研究及应用](#)
33. [高可用的磁盘阵列 Cache 的设计和实现](#)
34. [RAID 阵列中高速 Cache 管理的优化](#)

- 35. [一种新的基于 RAID 的 CACHE 技术研究与实现](#)
- 36. [基于 PCIE-104 总线的高速数据接口设计](#)
- 37. [基于 VPX 标准的 RapidIO 交换和 Flash 存储模块设计](#)
- 38. [北斗卫星系统在海洋工程中的应用](#)
- 39. [北斗卫星系统在远洋船舶上应用的研究](#)
- 40. [基于 CPCI 总线的红外实时信号处理系统](#)
- 41. [硬件实现 RAID 与软件实现 RAID 的比较](#)
- 42. [基于 PCI Express 总线系统的热插拔设计](#)
- 43. [基于 RAID5 的磁盘阵列 Cache 的研究与实现](#)
- 44. [基于 PCI 总线的 MPEG2 码流播放卡驱动程序开发](#)
- 45. [基于磁盘异或引擎的 RAID5 小写性能优化](#)
- 46. [基于 IEEE1588 的时钟同步技术研究](#)
- 47. [基于 Davinci 平台的 SD 卡读写优化](#)
- 48. [基于 PCI 总线的图像处理及传输系统的设计](#)
- 49. [串口和以太网通信技术在油液在线监测系统中的应用](#)
- 50. [USB3.0 数据传输协议分析及实现](#)
- 51. [IEEE 1588 协议在工业以太网中的实现](#)
- 52. [基于 USB3.0 的设备自定义请求实现方法](#)
- 53. [IEEE1588 协议在网络测控系统中的应用](#)
- 54. [USB3.0 物理层中弹性缓冲的设计与实现](#)
- 55. [USB3.0 的高速信息传输瓶颈研究](#)
- 56. [基于 IPv6 的 UDP 通信的实现](#)
- 57. [一种基于 IPv6 的流媒体传送方案研究与实现](#)
- 58. [基于 IPv4-IPv6 双栈的 MODBUS-TCP 协议实现](#)
- 59. [RS485CAN 网关设计与实现](#)
- 60. [MVB 周期信息的实时调度](#)
- 61. [RS485 和 PROFINET 网关设计](#)
- 62. [基于 IPv6 的 Socket 通信的实现](#)
- 63. [MVB 网络重复器的设计](#)
- 64. [一种新型 MVB 通信板的探究](#)
- 65. [具有 MVB 接口的输入输出设备的分析](#)
- 66. [基于 STM32 的 GSM 模块综合应用](#)
- 67. [基于 ARM7 的 MVB CAN 网关设计](#)
- 68. [机车车辆的 MVB CAN 总线网关设计](#)
- 69. [智能变电站冗余网络中 IEEE1588 协议的应用](#)
- 70. [CAN 总线的浅析 CANopen 协议](#)
- 71. [基于 CANopen 协议实现多电机系统实时控制](#)
- 72. [以太网时钟同步协议的研究](#)
- 73. [基于 CANopen 的列车通信网络实现研究](#)
- 74. [基于 SJA1000 的 CAN 总线智能控制系统设计](#)
- 75. [基于 CANopen 的运动控制单元的设计](#)
- 76. [基于 STM32F107VC 的 IEEE 1588 精密时钟同步分析与实现](#)

- 77. [分布式控制系统精确时钟同步技术](#)
- 78. [基于 IEEE 1588 的时钟同步技术在分布式系统中应用](#)
- 79. [基于 SJA1000 的 CAN 总线通讯模块的实现](#)
- 80. [嵌入式设备的精确时钟同步技术的研究与实现](#)
- 81. [基于 SJA1000 的 CAN 网桥设计](#)
- 82. [基于 CAN 总线分布式温室监控系统的设计与实现](#)
- 83. [基于 DSP 的 CANopen 通讯协议的实现](#)
- 84. [基于 PCI9656 控制芯片的高速网卡 DMA 设计](#)
- 85. [基于以太网及串口的数据采集模块设计](#)

VxWorks:

- 1. [基于 VxWorks 的多任务程序设计](#)
- 2. [基于 VxWorks 的数据采集存储装置设计](#)
- 3. [Flash 文件系统分析及其在 VxWorks 中的实现](#)
- 4. [VxWorks 多任务编程中的异常研究](#)
- 5. [VxWorks 应用技巧两例](#)
- 6. [一种基于 VxWorks 的飞行仿真实时管理系统](#)
- 7. [在 VxWorks 系统中使用 TrueType 字库](#)
- 8. [基于 FreeType 的 VxWorks 中文显示方案](#)
- 9. [基于 Tilcon 的 VxWorks 简单动画开发](#)
- 10. [基于 Tilcon 的某武器显控系统界面设计](#)
- 11. [基于 Tilcon 的综合导航信息处理装置界面设计](#)
- 12. [VxWorks 的内存配置和管理](#)
- 13. [基于 VxWorks 系统的 PCI 配置与应用](#)
- 14. [基于 MPC8270 的 VxWorks BSP 的移植](#)
- 15. [Bootrom 功能改进经验谈](#)
- 16. [基于 VxWorks 嵌入式系统的中文平台研究与实现](#)
- 17. [VxBus 的 A429 接口驱动](#)
- 18. [基于 VxBus 和 MPC8569E 千兆网驱动开发和实现](#)
- 19. [一种基于 vxBus 的 PPC 与 FPGA 高速互联的驱动设计方法](#)
- 20. [基于 VxBus 的设备驱动开发](#)
- 21. [基于 VxBus 的驱动程序架构分析](#)
- 22. [基于 VxBus 的高速数据采集卡驱动程序开发](#)
- 23. [Vxworks 下的冗余 CAN 通讯模块设计](#)
- 24. [WindML 工业平台下开发 S1d13506 驱动及显示功能的实现](#)
- 25. [WindML 中 Mesa 的应用](#)
- 26. [VxWorks 下图形用户界面开发中双缓冲技术应用](#)

27. [VxWorks 上的一种 GUI 系统的设计与实现](#)
28. [VxWorks 环境下 socket 的实现](#)
29. [VxWorks 的 WindML 图形界面程序的框架分析](#)
30. [VxWorks 实时操作系统及其在 PC104 下以太网编程的应用](#)
31. [实时操作系统任务调度策略的研究与设计](#)
32. [军事指挥系统中 VxWorks 下汉字显示技术](#)
33. [基于 VxWorks 实时控制系统中文交互界面开发平台](#)
34. [基于 VxWorks 操作系统的 WindML 图形操控界面实现方法](#)
35. [基于 GPU FPGA 芯片原型的 VxWorks 下驱动软件开发](#)
36. [VxWorks 下的多串口卡设计](#)
37. [VxWorks 内存管理机制的研究](#)
38. [T9 输入法在 Tilcon 下的实现](#)
39. [基于 VxWorks 的 WindML 图形界面开发方法](#)
40. [基于 Tilcon 的 IO 控制板可视化测试软件的设计和实现](#)
41. [基于 VxWorks 的通信服务器实时多任务软件设计](#)
42. [基于 VXWORKS 的 RS485MVB 网关的设计与实现](#)
43. [实时操作系统 VxWorks 在微机保护中的应用](#)
44. [基于 VxWorks 的多任务程序设计及通信管理](#)
45. [基于 Tilcon 的 VxWorks 图形界面开发技术](#)
46. [嵌入式图形系统 Tilcon 及应用研究](#)
47. [基于 VxWorks 的数据采集与重演软件的图形界面的设计与实现](#)
48. [基于嵌入式的 Tilcon 用户图形界面设计与开发](#)
49. [基于 Tilcon 的交互式多页面的设计](#)
50. [基于 Tilcon 的嵌入式系统人机界面开发技术](#)
51. [基于 Tilcon 的指控系统多任务人机交互软件设计](#)
52. [基于 Tilcon 航海标绘台界面设计](#)
53. [基于 Tornado 和 Tilcon 的嵌入式 GIS 图形编辑软件的开发](#)
54. [VxWorks 环境下内存文件系统的应用](#)
55. [VxWorks 下的多重定时器设计](#)
56. [Freescale 的 MPC8641D 的 VxWorks BSP](#)
57. [VxWorks 实验五\[时间片轮转调度\]](#)
58. [解决VmWare 下下载大型工程.out 出现 WTX Error 0x100de 的问题](#)
59. [基于 VxWorks 系统的 MiniGUI 图形界面开发](#)
60. [VxWorks BSP 开发中的 PCI 配置方法](#)
61. [VxWorks 在 S3C2410 上的 BSP 设计](#)
62. [VxWorks 操作系统中 PCI 总线驱动程序的设计与实现](#)
63. [VxWorks 概述](#)
64. [基于 AT91RM9200 的 VxWorks END 网络驱动开发](#)
65. [基于 EBD9200 的 VxWorks BSP 设计和实现](#)
66. [基于 VxWorks 的 BSP 技术分析](#)
67. [ARM LPC2210 的 VxWorks BSP 源码](#)
68. [基于 LPC2210 的 VxWorks BSP 移植](#)

Linux:

1. [Linux 程序设计第三版及源代码](#)
2. [NAND FLASH 文件系统的设计与实现](#)
3. [多通道串行通信设备的 Linux 驱动程序实现](#)
4. [Zsh 开发指南-数组](#)
5. [常用 GDB 命令中文速览](#)
6. [嵌入式 C 进阶之道](#)
7. [Linux 串口编程实例](#)
8. [基于 Yocto Project 的嵌入式应用设计](#)
9. [Android 应用的反编译](#)
10. [基于 Android 行为的加密应用系统研究](#)
11. [嵌入式 Linux 系统移植步步通](#)
12. [嵌入式 CC++语言精华文章集锦](#)
13. [基于 Linux 的高性能服务器端的设计与研究](#)
14. [S3C6410 移植 Android 内核](#)
15. [Android 开发指南中文版](#)
16. [图解 Linux 操作系统架构设计与实现原理（第二版）](#)
17. [如何在 Ubuntu 和 Linux Mint 下轻松升级 Linux 内核](#)
18. [Android 简单 mp3 播放器源码](#)
19. [嵌入式 Linux 系统实时性的研究](#)
20. [Android 嵌入式系统架构及内核浅析](#)
21. [基于嵌入式 Linux 操作系统内核实时性的改进方法研究](#)
22. [Linux TCP IP 协议详解](#)
23. [Linux 桌面环境下内存去重技术的研究与实现](#)
24. [掌握 Android 7.0 新增特性 Quick Settings](#)
25. [Android 应用逆向分析方法研究](#)
26. [Android 操作系统的课程教学](#)
27. [Android 智能手机操作系统的研究](#)
28. [Android 英文朗读功能的实现](#)
29. [基于 Yocto 订制嵌入式 Linux 发行版](#)
30. [基于嵌入式 Linux 的网络设备驱动设计与实现](#)
31. [如何高效学习嵌入式](#)
32. [基于 Android 平台的 GPS 定位系统的设计与实现](#)
33. [LINUX ARM 下的 USB 驱动开发](#)
34. [Linux 下基于 I2C 协议的 RTC 驱动开发](#)
35. [嵌入式下 Linux 系统设备驱动程序的开发](#)
36. [基于嵌入式 Linux 的 SD 卡驱动程序的设计与实现](#)
37. [Linux 系统中进程调度策略](#)

38. [嵌入式 Linux 实时性方法](#)
39. [基于实时 Linux 计算机联锁系统实时性分析与改进](#)
40. [基于嵌入式 Linux 下的 USB30 驱动程序开发方法研究](#)
41. [Android 手机应用开发之音乐资源播放器](#)
42. [Linux 下以太网的 IPv6 隧道技术的实现](#)
43. [Research and design of mobile learning platform based on Android](#)
44. [基于 linux 和 Qt 的串口通信调试器调的设计及应用](#)
45. [在 Linux 平台上基于 QT 的动态图像采集系统的设计](#)
46. [基于 Android 平台的医护查房系统的研究与设计](#)
47. [基于 Android 平台的软件自动化监控工具的设计开发](#)
48. [基于 Android 的视频软硬解码及渲染的对比研究与实现](#)
49. [基于 Android 移动设备的加速度传感器技术研究](#)
50. [基于 Android 系统振动测试仪研究](#)
51. [基于缓存竞争优化的 Linux 进程调度策略](#)
52. [Linux 基于 W83697 和 W83977 的 UART 串口驱动开发文档](#)
53. [基于 AT91RM9200 的嵌入式 Linux 系统的移植与实现](#)

Windows CE:

1. [Windows CE.NET 下 YAFFS 文件系统 NAND Flash 驱动程序设计](#)
2. [Windows CE 的 CAN 总线驱动程序设计](#)
3. [基于 Windows CE.NET 的 ADC 驱动程序实现与应用的研究](#)
4. [基于 Windows CE.NET 平台的串行通信实现](#)
5. [基于 Windows CE.NET 下的 GPRS 模块的研究与开发](#)
6. [win2k 下 NTFS 分区用 ntldr 加载进 dos 源代码](#)
7. [Windows 下的 USB 设备驱动程序开发](#)
8. [WinCE 的大容量程控数据传输解决方案设计](#)
9. [WinCE6.0 安装开发详解](#)
10. [DOS 下仿 Windows 的自带计算器程序 C 源码](#)
11. [G726 局域网语音通话程序和源代码](#)
12. [WinCE 主板加载第三方驱动程序的方法](#)
13. [WinCE 下的注册表编辑程序和源代码](#)
14. [WinCE 串口通信源代码](#)
15. [WINCE 的 SD 卡程序\[可实现读写的源码\]](#)
16. [基于 WinCE 的 BootLoader 研究](#)
17. [Windows CE 环境下无线网卡的自动安装](#)
18. [基于 Windows CE 的可视电话的研究与实现](#)
19. [基于 WinCE 的嵌入式图像采集系统设计](#)
20. [基于 ARM 与 WinCE 的掌纹鉴别系统](#)

21. [DCOM 协议在网络冗余环境下的应用](#)
22. [Windows XP Embedded 在变电站通信管理机中的应用](#)
23. [XPE 在多功能显控台上的开发与应用](#)
24. [基于 Windows XP Embedded 的 LKJ2000 仿真系统设计与实现](#)
25. [虚拟仪器的 Windows XP Embedded 操作系统开发](#)
26. [基于 EVC 的嵌入式导航电子地图设计](#)
27. [基于 XPEmbedded 的警务区 SMS 指挥平台的设计与实现](#)
28. [基于 XPE 的数字残币兑换工具开发](#)
29. [Windows CENET 下 ADC 驱动开发设计](#)
30. [Windows CE 下 USB 设备流驱动开发与设计](#)
31. [Windows 驱动程序设计](#)
32. [基于 Windows CE 的 GPS 应用](#)
33. [基于 Windows CE 下大像素图像分块显示算法的研究](#)
34. [基于 Windows CE 的数控软件开发与实现](#)

PowerPC:

1. [Freescale MPC8536 开发板原理图](#)
2. [基于 MPC8548E 的固件设计](#)
3. [基于 MPC8548E 的嵌入式数据处理系统设计](#)
4. [基于 PowerPC 嵌入式网络通信平台的实现](#)
5. [PowerPC 在车辆显控系统中的应用](#)
6. [基于 PowerPC 的单板计算机的设计](#)
7. [用 PowerPC860 实现 FPGA 配置](#)
8. [基于 MPC8247 嵌入式电力交换系统的设计与实现](#)
9. [基于设备树的 MPC8247 嵌入式 Linux 系统开发](#)
10. [基于 MPC8313E 嵌入式系统 UBoot 的移植](#)
11. [基于 PowerPC 处理器 SMP 系统的 UBoot 移植](#)
12. [基于 PowerPC 双核处理器嵌入式系统 UBoot 移植](#)
13. [基于 PowerPC 的雷达通用处理机设计](#)
14. [PowerPC 平台引导加载程序的移植](#)
15. [基于 PowerPC 嵌入式内核的多串口通信扩展设计](#)
16. [基于 PowerPC 的多网口系统抗干扰设计](#)
17. [基于 MPC860T 与 VxWorks 的图形界面设计](#)
18. [基于 MPC8260 处理器的 PPMC 系统](#)
19. [基于 PowerPC 的控制器研究与设计](#)
20. [基于 PowerPC 的模拟量输入接口扩展](#)
21. [基于 PowerPC 的车载通信系统设计](#)

- 22. [基于 PowerPC 的嵌入式系统中通用 I/O 口的扩展方法](#)
- 23. [基于 PowerPC440GP 型微控制器的嵌入式系统设计与研究](#)
- 24. [基于双 PowerPC 7447A 处理器的嵌入式系统硬件设计](#)
- 25. [基于 PowerPC603e 通用处理模块的设计与实现](#)
- 26. [嵌入式微机 MPC555 驻留片内监控器的开发与实现](#)
- 27. [基于 PowerPC 和 DSP 的电能质量在线监测装置的研制](#)
- 28. [基于 PowerPC 架构多核处理器嵌入式系统硬件设计](#)
- 29. [基于 PowerPC 的多屏系统设计](#)
- 30. [基于 PowerPC 的嵌入式 SMP 系统设计](#)
- 31. [基于 MPC850 的多功能通信管理器](#)

ARM:

- 1. [基于 DiskOnChip 2000 的驱动程序设计及应用](#)
- 2. [基于 ARM 体系的 PC-104 总线设计](#)
- 3. [基于 ARM 的嵌入式系统中断处理机制研究](#)
- 4. [设计 ARM 的中断处理](#)
- 5. [基于 ARM 的数据采集系统并行总线的驱动设计](#)
- 6. [S3C2410 下的 TFT LCD 驱动源码](#)
- 7. [STM32 SD 卡移植 FATFS 文件系统源码](#)
- 8. [STM32 ADC 多通道源码](#)
- 9. [ARM Linux 在 EP7312 上的移植](#)
- 10. [ARM 经典 300 问](#)
- 11. [基于 S5PV210 的频谱监测设备嵌入式系统设计与实现](#)
- 12. [Uboot 中 start.S 源码的指令级的详尽解析](#)
- 13. [基于 ARM9 的嵌入式 Zigbee 网关设计与实现](#)
- 14. [基于 S3C6410 处理器的嵌入式 Linux 系统移植](#)
- 15. [CortexA8 平台的 μC-OS II 及 LwIP 协议栈的移植与实现](#)
- 16. [基于 ARM 的嵌入式 Linux 无线网卡设备驱动设计](#)
- 17. [ARM S3C2440 Linux ADC 驱动](#)
- 18. [ARM S3C2440 Linux 触摸屏驱动](#)
- 19. [Linux 和 Cortex-A8 的视频处理及数字微波传输系统设计](#)
- 20. [Nand Flash 启动模式下的 Uboot 移植](#)
- 21. [基于 ARM 处理器的 UART 设计](#)
- 22. [ARM CortexM3 处理器故障的分析与处理](#)
- 23. [ARM 微处理器启动和调试浅析](#)
- 24. [基于 ARM 系统下映像文件的执行与中断运行机制的实现](#)
- 25. [中断调用方式的 ARM 二次开发接口设计](#)

26. [ARM11 嵌入式系统 Linux 下 LCD 的驱动设计](#)
27. [Uboot 在 S3C2440 上的移植](#)
28. [基于 ARM11 的嵌入式无线视频终端的设计](#)
29. [基于 S3C6410 的 Uboot 分析与移植](#)
30. [基于 ARM 嵌入式系统的高保真无损音乐播放器设计](#)
31. [UBoot 在 Mini6410 上的移植](#)
32. [基于 ARM11 的嵌入式 Linux NAND FLASH 模拟 U 盘挂载分析与实现](#)
33. [基于 ARM11 的电源完整性分析](#)
34. [基于 ARM S3C6410 的 uboot 分析与移植](#)
35. [基于 S5PC100 移动视频监控终端的设计与实现](#)
36. [UBoot 在 AT91RM9200 上的移植简析](#)
37. [基于工控级 AT91RM9200 开发板的 UBoot 移植分析](#)

Hardware:

1. [DSP 电源的典型设计](#)
2. [高频脉冲电源设计](#)
3. [电源的综合保护设计](#)
4. [任意波形电源的设计](#)
5. [高速 PCB 信号完整性分析及应用](#)
6. [DM642 高速图像采集系统的电磁干扰设计](#)
7. [使用 COMExpress Nano 工控板实现 IP 调度设备](#)
8. [基于 COM Express 架构的数据记录仪的设计与实现](#)
9. [基于 COM Express 的信号系统逻辑运算单元设计](#)
10. [基于 COM Express 的回波预处理模块设计](#)
11. [基于 X86 平台的简单多任务内核的分析与实现](#)
12. [基于 UEFI Shell 的 PreOS Application 的开发与研究](#)
13. [基于 UEFI 固件的恶意代码防范技术研究](#)
14. [MIPS 架构计算机平台的支持固件研究](#)
15. [基于 UEFI 固件的攻击验证技术研究](#)
16. [基于 UEFI 的 Application 和 Driver 的分析与开发](#)
17. [基于 UEFI 的可信 BIOS 研究与实现](#)
18. [基于 UEFI 的国产计算机平台 BIOS 研究](#)
19. [基于 UEFI 的安全模块设计分析](#)
20. [基于 FPGA Nios II 的等精度频率计设计](#)
21. [基于 FPGA 的 SOPC 设计](#)
22. [基于 SOPC 基本信号产生器的设计与实现](#)
23. [基于龙芯平台的 PMON 研究与开发](#)
24. [基于 X86 平台的嵌入式 BIOS 可配置设计](#)

- 25. [基于龙芯 2F 架构的 PMON 分析与优化](#)
- 26. [CPU 与 GPU 之间接口电路的设计与实现](#)
- 27. [基于龙芯 1A 平台的 PMON 源码编译和启动分析](#)
- 28. [基于 PC104 工控机的嵌入式直流监控装置的设计](#)
- 29. [GPGPU 技术研究与发展](#)
- 30. [GPU 实现的高速 FIR 数字滤波算法](#)
- 31. [一种基于 CPUGPU 异构计算的混合编程模型](#)
- 32. [面向 OpenCL 模型的 GPU 性能优化](#)
- 33. [基于 GPU 的 FDTD 算法](#)
- 34. [基于 GPU 的瑕疵检测](#)
- 35. [基于 GPU 通用计算的分析与研究](#)
- 36. [面向 OpenCL 架构的 GPGPU 量化性能模型](#)
- 37. [基于 OpenCL 的图像积分图算法优化研究](#)
- 38. [基于 OpenCL 的均值平移算法在多个众核平台的性能优化研究](#)
- 39. [基于 OpenCL 的异构系统并行编程](#)
- 40. [嵌入式系统中热备份双机切换技术研究](#)

Programming:

- 1. [计算机软件基础数据结构 - 算法](#)
- 2. [高级数据结构对算法的优化](#)
- 3. [零基础学算法](#)
- 4. [Linux 环境下基于 TCP 的 Socket 编程浅析](#)
- 5. [Linux 环境下基于 UDP 的 socket 编程浅析](#)
- 6. [基于 Socket 的网络编程技术及其实现](#)
- 7. [数据结构考题 - 第 1 章 绪论](#)
- 8. [数据结构考题 - 第 2 章 线性表](#)
- 9. [数据结构考题 - 第 2 章 线性表 - 答案](#)
- 10. [基于小波变换与偏微分方程的图像分解及边缘检测](#)
- 11. [基于图像能量的布匹瑕疵检测方法](#)
- 12. [基于 OpenCL 的拉普拉斯图像增强算法优化研究](#)
- 13. [异构平台上基于 OpenCL 的 FFT 实现与优化](#)
- 14. [数据结构考题 - 第 4 章 串](#)
- 15. [数据结构考题 - 第 4 章 串答案](#)
- 16.

FPGA / CPLD:

1. [一种基于并行处理器的快速车道线检测系统及 FPGA 实现](#)
2. [基于 FPGA 和 DSP 的 DBF 实现](#)
3. [高速浮点运算单元的 FPGA 实现](#)
4. [DLMS 算法的脉动阵结构设计及 FPGA 实现](#)
5. [一种基于 FPGA 的 3DES 加密算法实现](#)
6. [可编程 FIR 滤波器的 FPGA 实现](#)
7. [基于 FPGA 的 AES 加密算法的高速实现](#)
8. [基于 FPGA 的精确时钟同步方法](#)
9. [应用分布式算法在 FPGA 平台实现 FIR 低通滤波器](#)
10. [流水线技术在用 FPGA 实现高速 DSP 运算中的应用](#)
11. [基于 FPGA 的 CAN 总线通信节点设计](#)
12. [基于 FPGA 的高速时钟数据恢复电路的实现](#)
13. [基于 FPGA 的高阶高速 FIR 滤波器设计与实现](#)
14. [基于 FPGA 高效实现 FIR 滤波器的研究](#)
- 15.